

## Spline prism 法を用いた直交異方性厚板の 3 次元応力解析

大同工業大学大学院 学生員 名木野晴暢  
 大同工業大学 ○佐野直樹 関本光晴  
 大同工業大学 正員 水澤富作

**1. まえがき** 近年、構造物の大型化により、異方性材料から成る中等厚な板や極厚板が構造要素として用いられている。したがって、直交異方性板の信頼性の高い解析が、構造設計及び材料開発において重要な課題になっている。厚板や異方性板の解析では、横せん断変形の影響が無視できなくなる<sup>1),2)</sup>。しかしながら、等方性板と比較して、直交異方性厚板の 3 次元応力解析に関する研究は、少ないようと思われる。Srinivas ら<sup>3)</sup>は、3 次元弾性理論に基づき直交異方性板の 3 次元応力解析を行っている。Teo ら<sup>4)</sup>は、DQ 法を用いたアラゴナイトクリスタル長方形板の 3 次元応力解析を行っているが、応力の厚さ方向の分布特性については、検討されていない。

本研究では、半数値解析法である spline prism 法を用いて、 $\eta$  軸に垂直な相対する 2 面がダイヤフラム型単純支持され、他の 2 面で任意の境界条件を有し、板表面に等分布荷重を受ける直交異方性板の 3 次元応力解析を行い、解の収束性や精度比較について検討を行っている。また、アラゴナイトクリスタル板と木板の厚さ方向の応力分布特性に与える板厚比、境界条件および異方性の影響について明らかにしている。

**2. 解析手法** 直交異方性弾性理論とポテンシャルエネルギー最小の原理を用いて、図-1 に示される spline prism 要素モデルを導く。また、式の定式化にあたり、無次元直交座標系 ( $\xi = x/a, \eta = y/b, \zeta = z/h$ ) を用いる。ここで、 $a, b, h$  は、それぞれ厚板の幅、長さと厚さである。

spline prism 要素で仮定される  $x, y, z$  方向の変位関数  $U, V, W$  は、それぞれ次式で表される。

$$U = \sum_{l=1}^r \sum_{m=1}^{i_l} \sum_{n=1}^{j_l} A_{mn} \cdot N_{m,k}(\xi) \cdot N_{n,k}(\zeta) \cdot Y_l(\eta), \quad V = \sum_{l=1}^r \sum_{m=1}^{i_l} \sum_{n=1}^{j_l} B_{mn} \cdot N_{m,k}(\xi) \cdot N_{n,k}(\zeta) \cdot \bar{Y}_l(\eta), \\ W = \sum_{l=1}^r \sum_{m=1}^{i_l} \sum_{n=1}^{j_l} C_{mn} \cdot N_{m,k}(\xi) \cdot N_{n,k}(\zeta) \cdot Y_l(\eta) \quad \cdots(1)$$

ここで、 $N_{m,k}(\xi), N_{n,k}(\zeta)$  は正規化された  $B$ -spline 関数、 $A_{mn}, B_{mn}, C_{mn}$  は未定係数である。また、 $\eta$  軸に垂直な相対する 2 面が単純支持を仮定すれば、固有関数は次式で表すことができる。

$$Y_l(\eta) = \sin(l\pi\eta), \bar{Y}_l(\eta) = \cos(l\pi\eta); l = 1, 2, \dots, r \quad \cdots(2)$$

ここで、 $r$  は級数項である。板の全ポテンシャルエネルギー  $\Pi$  は、次式で与えられる。

$$\Pi = U_p - F \quad \cdots(3)$$

ここで、 $U_p$  はひずみエネルギー、 $F$  は外力ポテンシャルである。したがって、ポテンシャルエネルギー最小の原理と固有関数の直交性を用いれば、次式の剛性方程式が得られる。

$$\sum_{l=1}^r \left( [K]_{mnij}^{ll} \{\Delta\}_l - \{F\}_l \right) = 0 \quad \cdots(4)$$

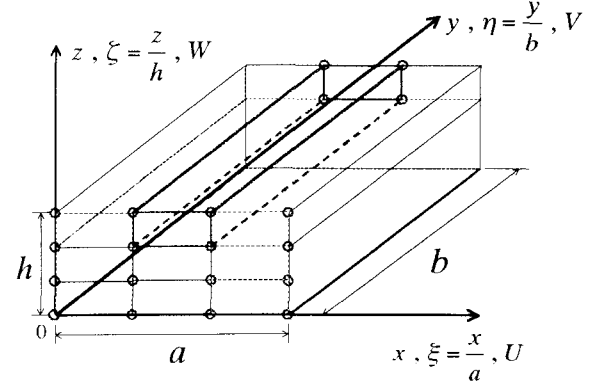


図-1 直交異方性厚板と座標系

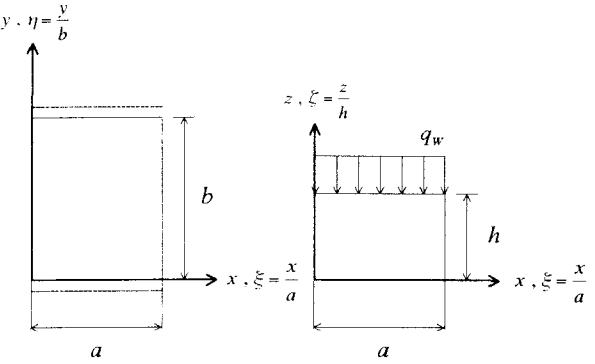


図-2 解析モデル図

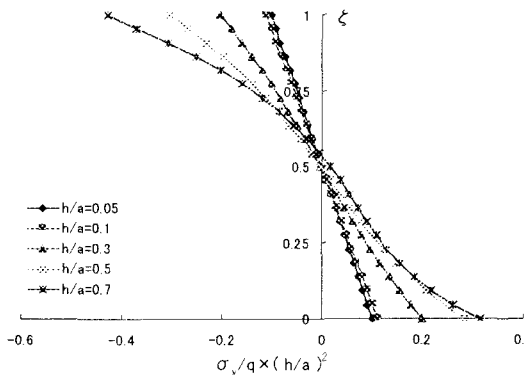
### 3. 数値計算例および考察

表-1 には、本数値計算に用いるアラゴナイトクリスタル板<sup>3)</sup>とシトカスブルース柾目板<sup>2)</sup>の剛性係数比が示してある。解析モデルは、図-2 に示すような板表面に等分布荷重  $q$  を受け、 $\eta$  軸に垂直な相対する 2 面がダイヤフラム型単純支持され、他の 2 面で任意の境界条件を持つ直交異方性板である。

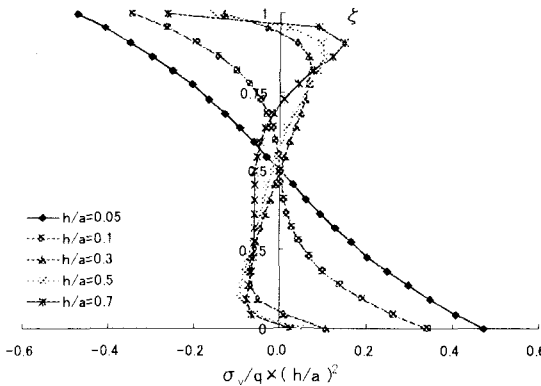
表-2 には、それぞれ板厚比  $h/a$  を 0.05 と 0.1 に仮定し、板表面に等分布荷重  $q$  を受ける周面単純支持されたアラゴナイトクリスタル板 ( $b/a = 1.0$ ) の中央断面 ( $\eta = 0.5$ ) でのたわみ  $W$  ( $\xi = \eta = \zeta = 0.5$ ) と応力  $\sigma_x$ ,  $\sigma_y$  ( $\xi = \eta = 0.5$ ,  $\zeta = 1.0$ ) の収束性と精度比較が示してある。ここで、級数項  $r$  は 31 と 51 に設定し、要素分割数は 4 から 24 まで変化させている。また、比較のために Teo ら<sup>4)</sup>の数値解と Srinivas ら<sup>3)</sup>の厳密解も示してある。これより、たわみ  $W$ , 垂直応力  $\sigma_x$ ,  $\sigma_y$  は、要素分割数の増大とともに、安定した収束状態を示しており、また他の数値解や厳密解とよく一致した結果が得られている。以後の数値計算例は、局所応力の解析精度を高めるために、 $r = 31$ ,  $M_x = M_z = 22$  を用いる。

図-3 には、アラゴナイトクリスタル板とシトカスブルース柾目板の板中央断面 ( $\eta = 0.5$ ) における応力  $\sigma_y$  の厚さ方向の分布に与える板厚比  $h/a$  の影響が示してある。ここで、 $b/a = 1.0$ 、境界条件は、 $\eta$  軸に垂直な相対する 2 面が型単純支持され、他の 2 面が固定面 (SS-CC) であり、 $h/a$  は、0.05 から 0.7 まで変化させている。これより、アラゴナイト

板では、比較的対称な応力分布性状を示すが、シトカスブルース柾目板では、板厚比が小さくても非線形な分布を示しており、板厚の増大に伴いかなり複雑な応



a) アラゴナイトクリスタル板



b) シトカスブルース柾目板

図-3 アラゴナイトクリスタル板とシトカスブルース柾目板の板中央断面における応力  $\sigma_y$  の分布特性に与える板厚比の影響:  $b/a=1.0, k\cdot l=4, r=31, M_x=M_y=22, SS-CC$

力分布を示している。また、応力分布に与える表面載荷の影響は、板厚が大きくなるほど顕著に見られる。

**4. まとめ** 得られた結果をまとめると、以下のようにになる。1) 本手法を用いれば、直交異方性板の数値安定性の高い応力解析が可能である。2) アラゴナイトクリスタル板の応力分布特性は、板厚に関係なくほぼ対称であるが、板厚比が大きくなると非線形な分布を示す。3) 強い異方性を示すシトカスブルース柾目板の応力分布特性は、板厚比が小さくても非線形な分布を示し、板厚の増大に伴いかなり複雑な応力分布を示している。

**参考文献** 1)水澤他: Spline Prism 法を用いた長方形厚板の三次元曲げ解析について. 土木学会論文集, 第 489 号/I-27, pp.101-110, 1994. 2)近藤他: Spline 要素法を用いた変断面性状を有する長方形木板の振動解析、応用力学論文集. Vol.4 , pp.183-194, 2001. 3) S. Srinivas and A.K. Rao.: Bending, vibration and buckling of simply supported thick orthotropic rectangular plates and laminates. Int. J. Solids and Struct. Vol. 6, pp.1463-1481, 1970. 4) T.M. Teo, K.M. Liew. : Three-dimensional elasticity solutions to some orthotropic plate problems. Int. J. Solids Struct. 36, pp.5301-5326, 1999.

表-1 アラゴナイトクリスタルとシトカスブルースの剛性係数比

アラゴナイトクリスタルの剛性係数比 <sup>3)</sup>							
$D_{22}/D_{11}$	$D_{33}/D_{11}$	$D_{12}/D_{11}$	$D_{13}/D_{11}$	$D_{23}/D_{11}$	$D_{44}/D_{11}$	$D_{55}/D_{11}$	$D_{66}/D_{11}$
0.543103	0.530172	0.23319	0.010776	0.098276	0.262931	0.26681	0.159914
シトカスブルース柾目板の剛性係数比 <sup>3)</sup>							
$D_{22}/D_{11}$	$D_{33}/D_{11}$	$D_{12}/D_{11}$	$D_{13}/D_{11}$	$D_{23}/D_{11}$	$D_{44}/D_{11}$	$D_{55}/D_{11}$	$D_{66}/D_{11}$
11.6220	0.55372	0.48668	0.24826	0.35210	0.73586	0.69763	0.032493

サフィックス 1,2,3 はそれぞれ、 $x, y, z$  方向に対応している

表-2 アラゴナイトクリスタル板とシトカスブルース柾目板の中央断面でのたわみ、垂直応力を与える要素分割数の影響と精度比較:  $b/a=1.0, k\cdot l=4, SS-SS$

$h/a$	$r$	$M_x=M_y$	$\xi=\eta=\zeta=0.5$	$\xi=\eta=0.5, \zeta=1.0$	$\xi=\eta=0.5, \zeta=1.0$
			$W$	$\sigma_x$	$\sigma_y$
31	4	-10444	-144.33	-87.068	
	8	-10443	-144.30	-87.061	
	12	-10443	-144.31	-87.059	
	16	-10443	-144.31	-87.060	
	20	-10443	-144.30	-87.058	
	24	-10443	-144.30	-87.058	
51	4	-10444	-144.33	-87.076	
	8	-10443	-144.30	-87.069	
	12	-10443	-144.31	-87.067	
	16	-10443	-144.31	-87.068	
	20	-10443	-144.31	-87.066	
	24	-10443	-144.31	-87.066	
Teo <sup>4)</sup>	-	-10443.5	-144.339	-87.0900	
	Srinivas <sup>3)</sup>	-10443	-144.31	-87.080	
31	4	-688.64	-36.042	-22.209	
	8	-688.57	-36.027	-22.196	
	12	-688.57	-36.019	-22.192	
	16	-688.57	-36.015	-22.191	
	20	-688.57	-36.014	-22.190	
	24	-688.57	-36.014	-22.190	
51	4	-688.64	-36.045	-22.217	
	8	-688.57	-36.030	-22.204	
	12	-688.57	-36.022	-22.200	
	16	-688.57	-36.018	-22.198	
	20	-688.57	-36.017	-22.198	
	24	-688.57	-36.017	-22.198	
Teo <sup>4)</sup>	-	-688.626	-36.0652	-22.2334	
	Srinivas <sup>3)</sup>	-688.57	-36.021	-22.210	
Multiplier		$qh/D11$	$q$	$q$	